

Fe₂O₃ 의 환원반응 기구

최태운·이홍립

연세대학교 오염공학과

(1981년 7월 30일 접수)

Reduction Mechanism of Fe₂O₃

Tae-Woon Choi and Hong-Lim Lee

Dept. of Ceramic Eng, Yonsei University

(Received July 30, 1981)

ABSTRACT

Fe₂O₃ was reduced over the temperature range of 600–1000°C in both the atmospheres for the Fe-stable and FeO-stable states.

It was found that the reduction follows first order kinetics and the reduction of Fe₂O₃ to Fe₃O₄ is the rate-controlling step.

1. 서 론

일반적으로 철은 철광석이나 산화철의 환원반응¹⁾에 의해서 일어지는데 이에 관한 연구는 그 공업적인 가치 때문에 여전히 활발히 이루어져 왔다. Tien과 Turkdogan²⁾은 수소분위기 하에서 다공질 산화철의 부분내부 환원에 대해서 연구를 했으며 Mekewan³⁾은 환원된 친층과 미반응 물 즉 Fe₂O₃ 사이의 계면에서의 화학반응이 올속단계라 보고했다. 또한 Spitzer와 S. T. Clay⁴⁾는 산화철의 환원반응에 대한 총괄반응 속도식을 전개했으며, J. H. Sharp⁵⁾는 고·기체반응에 대한 일반적인 반응모델을 확장, 계면화학반응, 핵생성 반응의 세 가지 유형으로 나타내었다.

본 연구에서는 산화철의 환원반응기구를 조사하고자 H₂-CO₂계의 혼합기체를 이용하여 600–1000°C의 온도 범위에서 각 반응온도에 있어서 Fe 및 FeO가 안정상을 유지하도록 산소분압(Po₂)을 조절하여 각 산소분압 하에서 환원반응의 거동을 관찰하였다.

2. 실험 방법

2. 1. 시료 및 시편제조

본 실험에 사용한 Fe₂O₃ 시료는 문말상(150mesh)의 일본산(大阪化學) 특급시약을 사용하였으며 적외선 전조기 하에서 5시간동안 진조한 Fe₂O₃ 분말상의 시료 1g을 취하여 steel mold로 1,500kg/cm²의 압력을 가하여 14mmΦ×2.5mm의 시편으로 만든 것을 공기중에서 siliconit 밸밸체 전기로에서 1250°C로 24시간 소결한 다음 서냉하여 고온처리중에 시료표면이 오염 또는 화학적으로 변화하였을 것을 염려하여 SiC paper로 표면을 연마하고 다시 아세톤으로 세척한 후 500°C에서 20분간 가열하여 시료로 했으며 이때 소결체의 기공율은 약 1%였다.

2.2 실험장치

반응트는 Fig. 1에서 보는 바와 같이 tube형 siliconit 를 밸밸체로 하는 전기로를 사용했으며 온도조절은 SCR 방식에 의했으며 백금·로들밸전대(Pt-Pt-Rh)를 사용하였는데 이때 온도의 오차는 ±5°C였다. 산소분압은 H₂-CO₂계를 이용하여 조절하였으며⁶⁾ 백금판에 놓인 시편은 siliconit 밸밸체의 중심부에 설치하여 그 옆부분에 열전대를 위치시켰다. 노내온도가 400°C가 될 때 CO₂기체를 송입한 후 20°C/min의 속도로 소정의 온도 까지 승온하였다. 이때 소정의 온도에 도달하면 노내

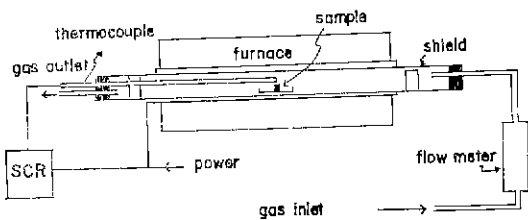


Fig. 1 Schematic view of the vaporization apparatus.

분위기 틀 소정의 산소분압이 되도록 조절했으며 H_2 - CO_2 혼합기체는 기체혼합장치를 사용하여 10ml/s로 형상 일정하게 유지시켰다. 다음 소정의 온도에서 일정시간 반응시킨 후 다시 CC_2 분위기로 굽방을 시켜 microbalance로 칭량하였다.

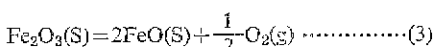
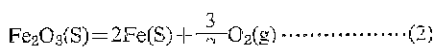
2.3. 반응율의 측정

고체에 대한 증발속도 또는 증기 압의 측정 방법에는 Langmuir법, Knudsen법, transpiration법¹²⁾ 등이 있으나 본 연구에서는 transpiration법을 사용하여 반응전후의 시료의 질량변화로 부터 반응물을 다음 (1)식에 의해서 측정하였다.

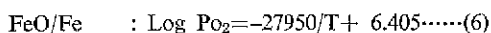
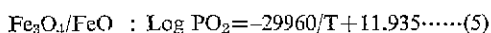
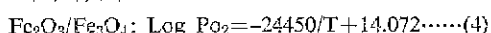
여기에서 ΔW 는 다음 (2), (3)식의 반응에 의해 산소량이 감소되는 질량감소, ΔW_0 는 완전히 환원반응이 종결되어서 Fe_2O_3 입자가 각각 Fe 및 FeO 로 완전히 변화되었을 때의 질량감소량이다.

3. 결과 및 고찰

Fe 및 FeO가 안정상을 유지하는 산소 투압하에서 Fe_2O_3 의 반응식은 자각 다음 (2)식과 (3)식으로 나타낼 수 있다.



따라서 표면에 Fe 및 FeO가 각각 생성하는 불균일증발¹⁸⁾(incongruent vaporization) 반응에 해당된다. Kohl과 Stearn¹⁹⁾은 각 산화철사이의 평형산소분압을 보고한 바 있는데 Fe_2O_3 와 Fe_3O_4 , Fe_3O_4 와 FeO 및 FeO와 Fe 사이 평형을 유지하는 산소분압을 각각 다음 식으로 나타내었다.



본 실험에서 (5)식과 (6)식을 이용하여 각 온도에 있어서 FeO 및 Fe 가 안정상을 유지할 수 있도록 산소분

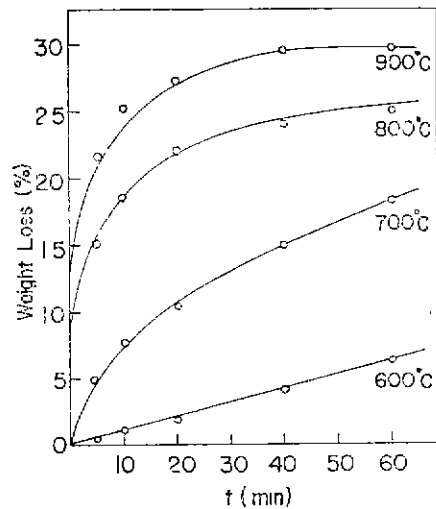


Fig. 2 Time dependence of volatility of sintered pellets in an atmosphere for the Fe-stable state.

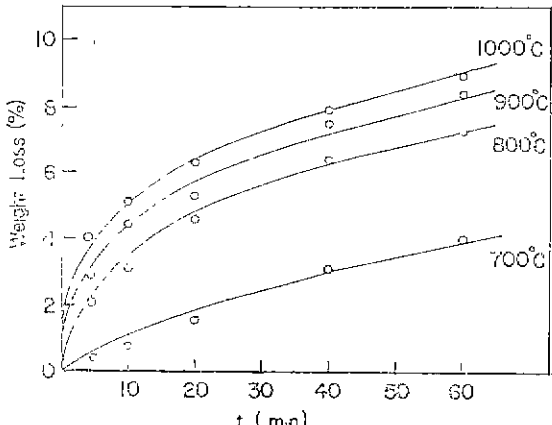


Fig. 3 Time dependence of volatility of sintered pellets in an atmosphere for the FeO-stable state.

압을 조절하였다. 즉 600, 700, 800, 900, 1000°C에 있어서 FeO안정상을 유지하기 위해서는 산소분압을 각각 10^{-25} , 10^{-21} , 10^{-18} , 10^{-16} , 10^{-14} atm \circ 되도록 H_2 와 CO_2 의 비를 조절하였다. 또한 Fe_2O_3 소결체에 대한 실험결과를 Fig. 2와 Fig. 3에 나타내었는데 절량감소량이 모두 시간에 대해서 포물선과함을 나타내고 있는 것을 알 수 있다. 이와같이 불균일증발을 하면서 반응율이 시간에 대해서 포물선을 나타낼 경우에는 그 표면층의 조직이 치밀하거만 하면 일정적으로 이 증발반응은 확산이 물속으로 되는 것이다. 본 실험에서 Fe와

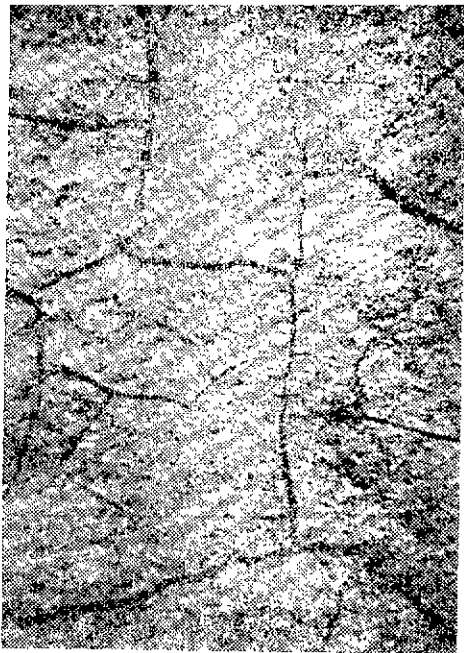


Fig. 4 Microstructure photographs of a Fe-stable state reacted at 800°C and $P_{O_2} = 1 \times 10^{-25}$ atm for 1 h. ($\times 100$)

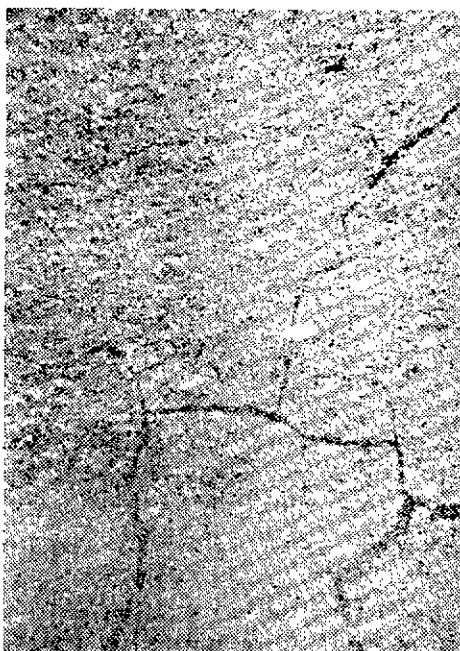


Fig. 5 Microstructure photographs of a FeO-stable state reacted at 800°C and $P_{O_2} = 1 \times 10^{-18}$ atm for 1 h. ($\times 100$)

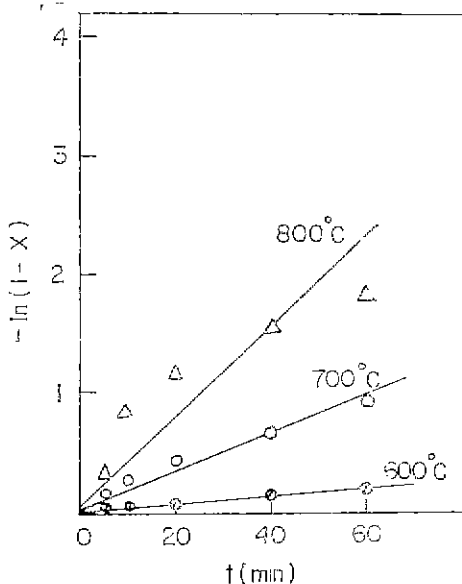


Fig. 6 Plot of $-\ln(1-X)$ versus reaction time for sintered pellets in an atmosphere for the Fe-stable state.

FeO가 각각 안정한 산소분압에서 반응시킨 후 표면의 조직을 현미경으로 관찰한 것을 Fig. 4와 Fig. 5에 나타내었다. 실험전에는 조직이 치밀하여 기공율이 1% 정도이던 것이 실험 후에는 표면에 심한 균열이 일어나서 조직이 치밀하지 못한 것을 볼 수 있다. 즉 표면층을 통한 확산이 율속단계 이기에는 너무나 균열이 심하게 일어나 있다. 아마 이것은 표면층이 형성될 때 내부의 산화물층과는 밀도동과 같이 너무나 물성차이가 큰 것이 원인이 되어 표면전체에 균열이 잔 것으로 믿어진다. Fe, FeO, Fe_3O_4 , Fe_2O_3 의 밀도는 각각 7.86, 6.0, 5.2, 5.2로 여기서 상당한 밀도의 차이를 볼 수 있다. 따라서 Mekewan³⁾이 Fe_2O_3 의 환원반응은 계면·학반응이 율속단계라고 보고한 결과를 증명하여 일단 계면화학반응에 대한 추적을 다음과 같이 행하였다. 우선 1차화학반응⁵⁾이라고 가정하면 (7)식을 유도할 수 있는데 여기서 X는 반응율(무차원).

k 는 반응속도상수(h^{-1}), t 는 탄응시간(h)이다. 실험결과를 나타내면 Fig. 6, Fig. 7과 같이 (7)식을 잘 만족시키는 것을 알 수 있다. 즉 Fe_2O_3 의 환원반응은 Fe 가 안정상을 유지하는 분위기에서나 FeO 가 안정상을 유지하는 분위기 하에서 모두 1차화학반응을 행함을 알 수 있다. 따라서 Fig. 2와 Fig. 3에서 나타난 프루센도양의 것도 결국 1차화학반응의 결과를 보여주는 것임

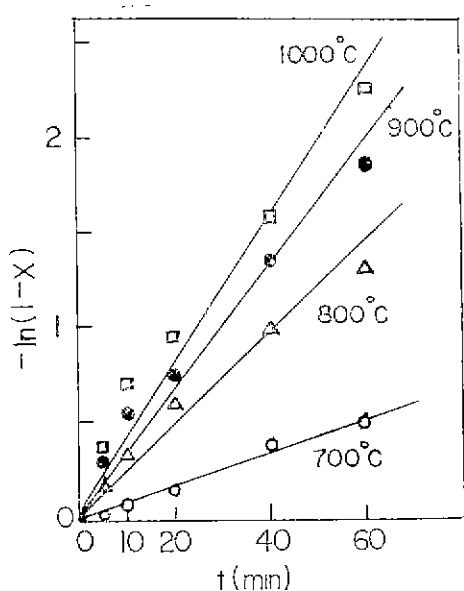


Fig. 7 Plot of $-\ln(1-X)$ versus reaction time for sintered pellets in an atmosphere for the FeO -stable state.

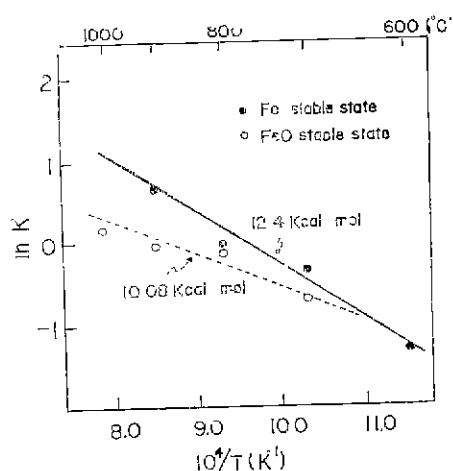


Fig. 8 Arrhenius plot of vaporization rates.

을 알 수 있다. 다시 실험결과를 Arrhenius plot하여 Fig. 8에 나타내었는데 여기서 활성화에너지 구해보면 각각 12.4, 10.08 kcal/mol이 되는데 이것은 (8)식의 반응에 의한 반응엔탈피 19.9 kcal/mol에 가까운 값이

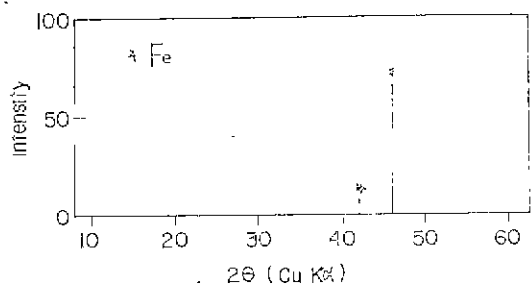


Fig. 9 The X-ray diffraction pattern for a Fe-stable specimen which was heated at 800°C and $P_{\text{O}_2} = 1 \times 10^{-25} \text{ atm}$.

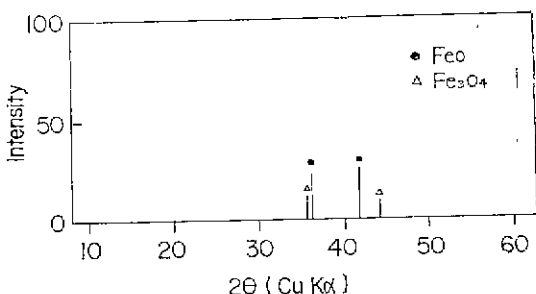
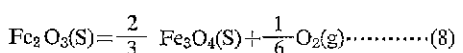


Fig. 10 The X-ray diffraction pattern for a FeO -stable specimen which was heated at 800°C and $P_{\text{O}_2} = 1 \times 10^{-18} \text{ atm}$.

다. 따라서 Fe_2O_3 가 Fe_3O_4 , FeO , Fe 의 가정을 거치는



중 Fe_2O_3 가 Fe_3O_4 로 되는 반응이 울속단계임을 알 수 있다. 또한 Fe_2O_3 , FeO , Fe 의 자기학전에 대한 활성화에너지 값은 각각 146Kcal/mol^[10], 34~42Kcal/mol^[11], 그리고 47~77Kcal/mol^[12, 13]으로 확산이 울속단계가 아님을 이 활성화에너지 값으로 부터 다시 확인할 수 있는 것이다. 한편 반응 후의 서로에 대한 X-선 회절분석을 행하고 Fe 및 FeO 가 안정상을 유지하는 분위기에서 실험을 행한 시료에 대한 X-선 분석결과를 각자 Fig. 9와 Fig. 10에 나타내었다. Fig. 9에서는 모두 Fe 의 X-선 회절 peak만 나타나 있으나 Fig. 10에서는 FeO 이외에 Fe_3O_4 가 포함되어 있는 것을 알 수 있는데 이것은 앞의 Fig. 2와 Fig. 3을 비교해서 알 수 있듯이 같은 온도, 같은 시간에 FeO 가 형성될 때가 Fe 가 형성될 때의 질량감소에 대해서 훨씬 작은 것과 일치하고 있다. 이것은 일단 FeO 안정상이 형성되기까지 반응은 진행하였으나 냉각과정때에 CO_2 분위기로 해준

때문에 반응이 반대로 일부 진행된 것이며, 이 정도는 고온일수록 험저하여 Fig. 8에서도 Fe_2O_3 가 안정한 분위기 일때가 기울기가 감소하여 활성화에너지값이 실제의 값보다 작게 나타난 것으로 믿어진다.

4. 결 론

H_2-CO_2 계의 혼합기체를 이용하여 600~1000°C의 온도범위에서 Fe_2O_3 의 환원반응을 관찰하여 다음과 같은 결론을 얻었다.

- 1) 산화철의 환원반응은 1차가역반응이고 다공질반응층과 미반응산화물의 계면에서의 표면화학반응이 을 속단계임을 알았다.
- 2) Fe 및 FeO 가 각각 안정한 분위기에 대한 결량감소를 Arrhenius plot 한 결과 각각의 반응에 대한 활성화에너지의 값은 12.4와 10.08Kcal/mol였다.
- 3) 본 실험에서는 Fe_2O_3 가 Fe_3O_4 로 환원이 되는 단계가 윤속단계인 것으로 추측된다.

References

- 1) N. J. Themelis and W. H. Gauvin, "A Generalized Rate Equation for the Reduction of Iron Oxide," *Trans. Met. Soc. AIME*, **227**[4] 290-300(1963).
- 2) R. H. Tien and E. T. Turkogagan, "Mathematical Analysis of partial Internal Reduction-Diffusion Control," *Met. Trans.*, **3**[8] 2039-2048(1972).
- 3) W. M. Mekewan, "Rate of reduction of an Iron Oxide," *Trans. Met. Soc. AIME*, **218** 2-6 (1960).
- 4) R. H. Spitzer, "Mixed-Control Reaction Kinetics in the Gaseous Reduction of Hematite," *Trans. Met. Soc. AIME*, **236**[5] 726-742 (1966).
- 5) J. H. Sharp and G. W. Brindley, "Numerical Data for some Commonly Used Solid State Reaction Equation," *J. Am. Cer. Soc.*, **49**[7] 379-382 (1966).
- 6) Arnulf Muan and E. T. Osborn, "Phase Equilibria Among Oxides in Steelmaking," 49-52, addition-Wesley Publishing Company, Inc. 1965.
- 7) H. L. Lee and T. Sata, "Vaporization from Refractory Bricks of the System $\text{MgO}-\text{Al}_2\text{O}_3-\text{Cr}_2\text{O}_3$ and Effect of Oxide Additives on Vaporization Rate of MgAl CrO_4 ," *Yogyo-Kyokai-Shi*, **87** [1] 32-36 (1979).
- 8) H. L. Lee and T. Sata, "Vacuum Vaporization of the System $\text{MgO}-\text{Al}_2\text{O}_3-\text{Cr}_2\text{O}_3$," *Yogyo-Kyokai-Shi*, **86**[3] 136-146 (1978).
- 9) H. L. Lee and T. W. Choi, "Oxidation mechanism of Si_3N_4 ," *J. Kor. Cer. Soc.*, **17**[4] 14-19 (1980).
- 10) W. D. Kingery, D. C. Hill and R. P. Nelson, "Oxygen Mobility in Polycrystalline NiCr_2O_4 and $\alpha\text{-Fe}_2\text{O}_3$," *J. Am. Cer. Soc.*, **43**[9] 473-476 (1960).
- 11) H. Ricket and W. Weppner, *Z. Naturforsch.*, **29a** 1849 (1974).
- 12) J. Askill, "Trace Diffusion Data for Metals, Alloys, and Simple Oxides," IFI/Pleumum, New York-Washington-London (1970).
- 13) F. J. Kohl and C. A. Stearn, NASA TMX-67980.